

# حذف نویز از سیگنال گفتار با اصلاح طیف فرکانسی سیگنال نویزی - بررسی روش‌های تخمین سیگنال به نویز محلی و کنترل و شکل دهی سطح نویز باقیمانده

محسن رحمانی، بابک ناصرشریف، روح‌الله عبدی‌پور و احمد اکبری

دانشکده‌ی مهندسی کامپیوتر، دانشگاه علم و صنعت ایران

نویسنده‌ی عهده‌دار مکاتبات: محسن رحمانی

## چکیده:

دسته‌ی مهمی از روش‌های بهبود کیفیت گفتار، طیف فرکانسی دوره‌ی کوتاه سیگنال نویزی را تغییر داده و اصلاح می‌نمایند. اصلاحات طیفی این روش‌ها به صورت یک فیلتر در حوزه‌ی فرکانسی بیان می‌شود و بهره‌ی فیلتر می‌تواند به صورت تابعی از سیگنال به نویز نمایش داده شود. در این مقاله، روش‌های حذف نویز از سیگنال گفتار مورد بررسی و ارزیابی قرار می‌گیرد و بهره‌ی فیلتر برای برخی از روش‌های حذف نویز شناخته شده به صورت تابعی از سیگنال به نویز نمایش داده می‌شود. روش‌های تخمین سیگنال به نویز بررسی می‌شود و یک تکنیک جدید برای تخمین سیگنال به نویز پیشنهاد شده و ارزیابی می‌گردد و برتری آن بر روش‌های قبلی نشان داده می‌شود. در این مقاله اصلاح روش‌های حذف نویز به منظور کم کردن اعوجاج سیگنال گفتار مطرح شده است. در این روش‌ها اثرات اصلاح فرکانسی، طوری تنظیم می‌گردد که با باقی گذاشتن مقداری از نویز اولیه، بهبود مشخصی در نسبت سیگنال به نویز به دست آید و در عوض اعوجاج سیگنال گفتار حداقل گردد. برای این کار با اعمال یک پارامتر، بهره‌ی چند روش حذف نویز برای دستیابی به سطح مشخصی از حذف نویز تنظیم می‌گردد. همچنین برای خوشایند کردن نویز باقیمانده، از شکل دادن نویز باقیمانده استفاده شده است. به منظور ارزیابی این روش‌ها تست‌های شنوایی برای بررسی جنبه‌های مختلف گفتار، از جمله نویز موسیقی، نویز باقیمانده، پژواک و آثار غیر طبیعی نویز باقیمانده، طراحی و اجرا شده است. نتایج این تست‌ها در مقاله‌ی حاضر برای چند روش حذف نویز گزارش شده است و روش‌های حذف نویز با یکدیگر مقایسه شده‌اند.

کلمات کلیدی: بهبود گفتار، کاهش نویز، نویز موسیقی، اعوجاج و نویز باقی‌مانده، سیگنال به نویز پیشین و سیگنال به نویز پسین

## ۱- مقدمه

استفاده از بهبود گفتار، در بسیاری از کاربردهایی که صدا در یک محیط نویزی دریافت می‌گردد و یا میکروفن از گوینده فاصله دارد، ضروری است. از جمله‌ی این موارد می‌توان به دریافت صدا از طریق میکروفن تلفن‌های بدون گوشی<sup>۱</sup> و نیز میکروفن‌های رومیزی همه جهته در یک کنفرانس صوتی اشاره کرد. گوشی‌های تلفن همراه یا هدست<sup>۲</sup> که روی گوش قرار می‌گیرند و با فناوری بی‌سیم دندان آبی<sup>۳</sup> به تلفن همراه وصل می‌شوند نیز اخیراً بازار مناسبی پیدا کرده‌اند. در این دستگاه‌ها به علت فاصله‌ی چند سانتیمتری میکروفن با دهان گوینده، نویز محیط اطراف نیز دریافت می‌گردد و موجب افت کیفیت صوت می‌شود. سر و صدای اضافی مانند

<sup>1</sup> - hands free

<sup>2</sup> - headset

<sup>3</sup> - bluetooth

همه‌مهمی افراد در محیط کار یا نویز مربوط به ورزش باد در محیط آزاد نیز از جمله عوامل افت کیفیت صوت در سیستم‌های هدست می‌باشد. نظر به اهمیت این محصولات، لزوم استفاده از الگوریتم‌های کارا برای ارتقای کیفیت صوت به طور جدی مطرح می‌باشد. بهبود کیفیت گفتار در بازشناسی گفتار نیز مطرح است. یک سیستم بازشناسی گفتار ممکن است در محیطی غیر از محیط آموزش عمل کند. در این حالت برای جلوگیری از پایین آمدن دقت بازشناسی، نیاز به حذف نویز و بهبود گفتار احساس می‌شود. یک کاربرد دیگر که در آن بهبود کیفیت گفتار مطرح است، در مورد کدکننده‌هایی هستند که برای کد کردن گفتار تمیز، طراحی شده‌اند، ولی در عمل می‌بایست روی سیگنال‌های دریافت شده در محیط نویزی اعمال گردند. در این حالت نیز بهبود گفتار و حذف نویز می‌تواند صحت عملکرد کدکننده را افزایش دهد.

دسته‌ی عمده‌ای از روش‌های بهبود گفتار، روش‌هایی هستند که عملیات خود را روی طیف دوره‌ی کوتاه سیگنال انجام می‌دهند. در این روش‌ها یک فیلتر فرکانسی روی دامنه‌ی طیف اعمال می‌شود. پس از اعمال فیلتر، خروجی فیلتر به‌عنوان طیف تخمینی تلقی می‌شود. سیگنال بهبودیافته در حوزه‌ی زمان با استفاده از اندازه‌ی طیف فرکانسی تخمینی و مرحله‌ی سیگنال نویزی بازسازی می‌گردد. بهره‌ی فیلترهایی که در این روش‌ها به‌کار می‌روند، می‌توانند به صورت تابعی از نسبت توان سیگنال به نویز (SNR) بیان شوند. نسبت سیگنال به نویز، بیان‌کننده‌ی نسبت توان مقدار مؤلفه‌ی سیگنال مفید در یک فرکانس خاص و در یک فریم داده شده از سیگنال به مقدار توان مؤلفه‌ی نویز می‌باشد؛ لذا فیلترهای فرکانسی در مؤلفه‌های فرکانسی که نسبت سیگنال به نویز بزرگ است، مؤلفه مربوطه را به‌عنوان سیگنال مفید در نظر می‌گیرند و کمتر اصلاح می‌کنند. برعکس در مؤلفه‌های فرکانسی که نسبت سیگنال به نویز ضعیف باشد، مؤلفه‌های فرکانسی به‌عنوان نویز تلقی شده و تضعیف می‌گردد.

فرآیند تخمین نویز از مهمترین بخش‌های یک سیستم اصلاح فرکانسی است. اگرچه روش‌های قدیمی‌تر نویز را در نواحی سکوت تخمین می‌زنند (مثلاً در [۱ و ۲])، در روش‌های جدیدتر تخمین نویز با دنبال کردن کمینه‌ی طیف سیگنال نویزی به دست می‌آید. (به عنوان مثال در [۳، ۴، ۵ و ۶]) در این روش فرض بر این است که سطح انرژی سیگنال آغشته به نویز در صورت عدم وجود گفتار به سطح انرژی نویز باز می‌گردد؛ در این صورت می‌توان با دنبال کردن کمینه‌های طیف توان سیگنال آغشته به نویز، طیف توان نویز را به‌دست آورد. لازم به ذکر است که هدف روش‌های تخمین نویز، تخمین میانگین توان نویز در هر مؤلفه‌ی فرکانسی و دنبال کردن تغییرات آن با کم‌ترین تأخیر ممکن است. طیف تخمین زده شده از روی کمینه‌ها همواره متمایل به سمت مقادیر کم‌تر از مقدار میانگین است؛ در نتیجه در روش‌های تخمین نویز مبتنی بر کمینه‌های طیف کوتاه مدت، همیشه از یک فیلتر هموارکننده<sup>۱</sup> استفاده می‌شود تا با کاهش انحراف از میانگین نمونه‌های طیف، خطای تخمین کاهش بیابد. در نهایت نیز طیف تخمین زده شده در یک ضریب جبران‌کننده، ضرب می‌شود تا تخمین به مقادیر واقعی نزدیک‌تر شود.

روش‌های مختلفی برای تخمین سیگنال به نویز برای استفاده در فیلترهای فرکانسی ارائه شده است. در [۷] فیلترهای فرکانسی به‌صورت تابعی از دو تخمین متفاوت از سیگنال به نویز معرفی شده است. این سیگنال به نویزها به‌عنوان سیگنال به نویز پسین<sup>۲</sup> و سیگنال به نویز پیشین<sup>۳</sup> شناخته شده‌اند. در [۲] دو روش برای محاسبه‌ی سیگنال به نویز پیشین بر اساس سیگنال به نویز پسین ارائه شده است. در [۸] نشان داده شده‌است که سیگنال به نویز پیشین در نواحی مختلف گفتاری چگونه سیگنال به نویز پسین را دنبال می‌کند. در [۹] تأثیر استفاده از سیگنال به نویز پیشین به جای سیگنال به نویز پسین در چند فیلتر شناخته شده مورد بررسی قرار گرفته است. در [۱۰، ۱۱ و ۱۲] روش‌های ترکیبی که از تخمین سیگنال به نویز پیشین و پسین برای تخمین استفاده می‌کند، ارائه شده است.

فرآیند حذف نویز از سیگنال گفتار می‌تواند به از دست رفتن قسمت‌هایی از سیگنال مفید نیز منجر شود که به آن اعوجاج سیگنال گفته می‌شود. از بین رفتن قسمت‌های مفید سیگنال یا اعوجاج منجر به افت کیفیت گفتار و همچنین پایین آمدن قابلیت فهم گفتار می‌شود. یکی از روش‌های کاهش میزان اعوجاج، استفاده از فیلترهایی است که نویز زمینه را به طور کامل حذف نمی‌کنند.

اگرچه نویز موجود در سیگنال صوتی اثرات نامطلوبی از قبیل پایین آوردن کیفیت صوت و قابلیت فهم صوت دارد و موجب خستگی شنونده می‌گردد ولی در عوض موجب می‌گردد، که اطلاعاتی در رابطه با شرایط دریافت صوت و محیط اطراف گوینده‌ی اصلی به سیگنال صوتی اضافه گردد و در مواردی نقایص موجود در سیگنال اصلی کمتر مورد توجه شنونده قرار می‌گیرد. عموماً حذف کامل نویز به دلایل متعدد امکان‌پذیر نمی‌باشد که از آن جمله به در دسترس نبودن تخمین دقیق آمارگان نویز، ثابت نبودن آمارگان مربوطه با زمان، ضعف روش‌های پردازش سیگنال در به‌دست آوردن تخمین‌های دقیق و وجود خطا در روش‌های تخمین در حوزه‌ی فرکانس می‌توان اشاره نمود. در صورتی که حذف نویز صوتی اضافه شده به سیگنال اصلی به‌طور کامل صورت نگیرد از یک طرف مقداری نویز باقیمانده در سیگنال وجود دارد که به دلایل اشاره شده از نظر شنونده غیر طبیعی بوده و با نویز اولیه تفاوت قابل توجهی دارد؛ از سوی دیگر قسمتی از مؤلفه‌های جدید نویز

<sup>۲</sup> - a posteriori signal to noise ratio

<sup>۳</sup> - a priori signal to noise ratio

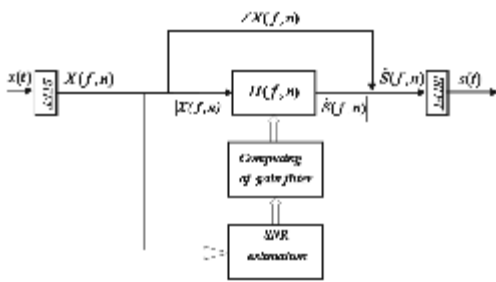
<sup>۱</sup> - smoothing filter

## ۲- حذف نویز به روش اصلاح طیف فرکانسی

در روش‌های اصلاح طیف فرکانسی، سیگنال نویزی با اعمال تبدیل فوریه زمان-کوتاه<sup>۱</sup> به حوزه فرکانس انتقال می‌یابد. در این حالت در شرایطی که نویز جمع پذیر<sup>۲</sup> است و با این فرض که نویز با سیگنال تمیز ناهمبسته<sup>۳</sup> است، رابطه‌ی زیر را می‌توان نوشت.

$$X(f, n) = S(f, n) + B(f, n) \quad (1)$$

که در آن  $X(f, n)$ ،  $S(f, n)$  و  $B(f, n)$  به ترتیب سیگنال نویزی، سیگنال تمیز و نویز در حوزه STFT هستند. در روش‌های بهبود گفتار هدف آن است که با در دست داشتن سیگنال نویزی تخمین مناسبی از سیگنال تمیز به دست آید. شکل (۱) بلوک دیاگرام روش‌های بهبود گفتار مورد بحث را نشان می‌دهد.



شکل ۱. بلوک دیاگرام عمومی روش‌های حذف نویز با اصلاح طیف فرکانسی

چنانچه در شکل دیده می‌شود فیلتر با مشخصه‌ی فرکانسی  $H(f, n)$  بر طیف فرکانسی سیگنال نویزی،  $|X(f, n)|$ ، اعمال شده و دامنه‌ی طیف سیگنال بهبود یافته،  $\hat{S}(f, n)$ ، را نتیجه داده است. پس از اعمال فیلتر، از ترکیب دامنه‌ی  $|\hat{S}(f, n)|$  با مرحله‌ی سیگنال نویزی و محاسبه‌ی عکس تبدیل فوریه سیگنال تخمینی در حوزه زمان به دست آمده است. در صورتی که تبدیل فوریه، دوره‌ی کوتاه گفتار تخمینی در هر فریم  $n$ ،  $\hat{S}(f, n)$  باشد، تأثیر فیلتر با مشخصه‌ی فرکانسی  $H(f, n)$  بر طیف سیگنال نویزی را می‌توان به صورت رابطه‌ی زیر نشان داد.

$$\hat{S}(f, n) = H(f, n) \cdot X(f, n) \quad (2)$$

روابط مختلفی برای  $H(f, n)$  پیشنهاد شده است که در ادامه تعدادی از این روش‌ها معرفی می‌شوند.

که در اثر خطا در پردازش گفتار حاصل می‌گردد، به سیگنال اولیه اضافه می‌گردد که در برخی موارد نامطلوب‌تر از نویز اولیه است (نویز موسیقی). یک اثر نامطلوب دیگر در این موارد، حذف قسمتی از مؤلفه‌های سیگنال اصلی است که به عنوان اعوجاج سیگنال اولیه شناخته شده است. به عبارت دیگر سیگنال به دست آمده قسمتی از مؤلفه‌ها و جزئیات خود را از دست داده است. گرچه از دست رفتن این جزئیات با اضافه شدن نویز در سیگنال نویزی حادث شده است، با این حال در سیگنال نویزی به دلیل اثرات ماسک فرکانسی گوش چندان مشخص نمی‌باشد. در حالی که با حذف مؤلفه‌های قوی، نویز این اثرات به‌طور واضح در سیگنال اصلاح شده شنیده می‌شود. به‌منظور مقابله با نویز باقیمانده‌ی غیر طبیعی و نیز از دست رفتن جزئیات سیگنال اصلاح شده، روش‌های حذف نویز با سطح نویز قابل تنظیم مطرح می‌گردند. ایده‌ی اصلی این روش‌ها، کم کردن اثر نویز به جای حذف نویز می‌باشد. به عبارت دیگر وجود نویز زمینه از یک سو موجب اطلاع شنونده از محیط اطراف و شرایط دریافت صوت می‌گردد و از سوی دیگر موجب پی‌نبردن شنونده به نقایص سیگنال در اثر خاصیت ماسک شنوایی گوش انسان می‌شود. این نویز می‌تواند با سطح توانی که برای شنونده قابل قبول باشد در سیگنال بهبود یافته حضور داشته باشد. به تعبیر دیگر توان نویز اولیه‌ی اضافه شده به سیگنال اصلی به اندازه‌ی معینی (مثلاً 10dB) کاهش یابد. این روش‌ها به‌عنوان روش‌های حذف نویز با سطح نویز قابل تنظیم یا با سطح نویز معین، در این مقاله مطرح شده‌اند. در ادامه‌ی مقاله در بخش دوم روش‌های حذف نویز با اصلاح طیف فرکانسی و نمایش روش‌های حذف نویز به‌عنوان یک فیلتر وابسته به نسبت سیگنال به نویز مورد بررسی قرار می‌گیرند. در بخش سوم روش‌های تخمین نسبت سیگنال به نویز محلی مورد بررسی قرار گرفته و یک روش جدید برای تخمین نسبت سیگنال به نویز در یک فرکانس مفروض، ارائه می‌گردد. در بخش چهارم روش‌هایی برای حذف نویز پیشنهاد می‌گردد که سطح نویز حذف شده را به‌طور دلخواه تنظیم کنند. در این بخش همچنین شیوه‌ای برای شکل‌دهی نویز باقیمانده پیشنهاد می‌شود. بخش پنجم به ارزیابی و مقایسه‌ی روش‌های مطرح شده اختصاص دارد. و نهایت در بخش ششم نتیجه‌گیری به عمل می‌آید.

<sup>1</sup> - Short Time Fourier Transform (STFT)

<sup>2</sup> - additive

<sup>3</sup> - uncorrelated

به صورت تابعی از نسبت سیگنال به نویز در رابطه، نشان داده شده است.

$$H_w(f) = \frac{SNR(f)}{SNR(f)+1} \quad (8)$$

**روش تخمین دامنه‌ی سیگنال گفتار با معیار حداقل میانگین مربعات خطا<sup>۳</sup> (MMSE):** در این روش ضرایب فوریه سیگنال گفتار در یک فریم خاص را از روی سیگنال نویزی در همان فریم تخمین زده شود، به گونه‌ای که میانگین مربعات اختلاف دامنه‌ی طیف تخمینی با دامنه‌ی طیف سیگنال گفتار تمیز حداقل شود. بدین ترتیب فیلتر اصلاح فرکانسی زیر تعریف شده است [۲]:

$$H_{MMSE}(f) = \frac{\sqrt{\pi} v(f)}{2 R_{po}(f)} \exp\left(-\frac{v(f)}{2}\right) \left[ \frac{(1+v(f))I_0}{\left(\frac{v(f)}{2}\right) + v(f)I_1\left(\frac{v(f)}{2}\right)} \right] \quad (9)$$

در رابطه‌ی فوق  $v_f$  به صورت زیر تعریف می‌شود و  $I_0()$  و  $I_1()$  به ترتیب توابع بسل مرتبه‌ی صفر و یک می‌باشد.

$$v(f) = \frac{R_{pr}(f)}{1 + R_{pr}(f)} R_{po}(f) \quad (10)$$

در روابط فوق  $R_{pr}(f)$  و  $R_{po}(f)$  به ترتیب نسبت سیگنال به نویز پیشین و پسین می‌باشند. این دو نسبت در بخش بعد تشریح می‌شوند.

**روش JMAP:** فیلتر  $MMSE$  برای بهسازی گفتار از نظر حداقل میانگین مربعات خطا، بهینه است و از طرف دیگر نویز باقیمانده‌ی این روش از نوع نویز موسیقی نمی‌باشد [۸ و ۲]. اما محاسبه‌ی این تابع بهره، نیاز به محاسبه‌ی توابع بسل و نمایی دارد که محاسباتی هزینه‌بر هستند. در [۱۱] و [۱۲] فیلترهای جایگزین برای فیلتر  $MMSE$  پیشنهاد شده است که با داشتن هزینه‌ی کمتر، رفتاری مشابه فیلتر  $MMSE$  از خود نشان می‌دهد. در این روش‌ها با بیشینه کردن احتمال توزیع سیگنال نویزی با شرط داشتن توزیع توأمان دامنه و فاز طیف سیگنال تمیز و با انجام پاره‌ای محاسبات فیلتر به شیوه‌ی زیر محاسبه می‌شود.

$$H_{JMAP}(k) = \frac{R_{pr}(k) + \sqrt{R_{pr}^2(k) + 2(1 + R_{pr}(k)) \frac{R_{pr}(k)}{R_{po}(k)}}}{2(1 + R_{pr}(k))} \quad (11)$$

**تفاضل طیف توان:** در این روش [۱] با فرض ناهمبسته<sup>۱</sup> بودن نویز با سیگنال تمیز، و به علاوه جمع‌پذیر بودن آن، رابطه‌ی سیگنال تمیز به صورت رابطه‌ی زیر تخمین زده می‌شود.

$$|\hat{S}(f, n)|^2 = |X(f, n)|^2 - |B(f, n)|^2 \quad (3)$$

در این رابطه  $|X(f, n)|^2$ ،  $|S(f, n)|^2$  و  $|B(f, n)|^2$  به ترتیب تخمین طیف توان دوره‌ی کوتاه سیگنال نویزی، سیگنال تمیز و نویز می‌باشد. در صورتی که رابطه‌ی تفاضل طیف توان در قالب رابطه‌ی<sup>۲</sup> نوشته شود، رابطه‌ی زیر حاصل می‌شود.

$$\hat{S}(f, n) = X(f, n) \left( \sqrt{1 - \frac{1}{1 + |S(f)|^2 / |B(f)|^2}} \right) = X(f, n) \left( \sqrt{\frac{|S(f)|^2 / |B(f)|^2}{1 + |S(f)|^2 / |B(f)|^2}} \right) \quad (4)$$

در صورتی که  $SNR(f, n)$  را به عنوان نسبت توان سیگنال یا  $|S(f)|^2$  به توان نویز یا  $|B(f)|^2$  تعریف نماییم، تابع  $H(f, n)$  به صورت زیر به دست می‌آید:

$$H(f, n) = \sqrt{\frac{SNR(f, n)}{1 + SNR(f, n)}} \quad (5)$$

**تفاضل طیف دامنه:** یکی دیگر از روش‌های ساده و در عین حال کارا برای بهسازی گفتار، روش تفاضل طیف دامنه است. این روش، با کم کردن دامنه‌ی طیف نویز از دامنه‌ی طیف سیگنال نویزی، دامنه‌ی طیف سیگنال تمیز را تخمین می‌زند. رابطه‌ی تفاضل طیف دامنه به صورت زیر است.

$$|\hat{S}(f, n)| = |X(f, n)| - |B(f, n)| \quad (6)$$

با ترکیب دامنه‌ی طیف توان به دست آمده برای سیگنال تخمینی با فاز سیگنال نویزی، سیگنال تخمینی به دست می‌آید. رابطه‌ی تفاضل طیف دامنه<sup>۲</sup> را نیز می‌توان به شکل ضربی، به صورت تابعی از نسبت سیگنال به نویز نوشت. شکل ضربی تفاضل طیف دامنه به صورت رابطه‌ی زیر نوشته می‌شود.

$$H_{as}(f) = \left( 1 - \sqrt{\frac{1}{SNR(f)+1}} \right) \quad (7)$$

**فیلتر وینر:** روش متداول دیگر در بهبود سیگنال گفتار، استفاده از فیلتر وینر می‌باشد [۱۳]. رابطه‌ی فیلتر وینر

<sup>1</sup> - uncorrelated

<sup>2</sup> - amplitude spectral subtraction

<sup>3</sup> - Minimum Mean Square Error

[۱۰] با استفاده از توزیع سوپر گوسی، رابطه‌ی زیر برای تابع بهره‌ی فیلتر به‌دست‌آمده است.

$$H_{MAP}(f) = u + \sqrt{u^2 + \frac{\beta - 0.5}{2R_{po}}} \quad u = \frac{1}{2} - \frac{\mu}{4\sqrt{R_{po}R_{pr}}}, \quad (12)$$

$$\beta = 1, \quad \mu = 2.5$$

جدول ۱) روش‌های پیاده‌سازی و نام اختصاری انتخاب شده برای آن‌ها را نشان می‌دهد.

$$R_{po}(f, n) = \frac{X^2(f, n)}{E\{D^2(f)\}} - 1 \quad (13)$$

**روش MAP:** بسیاری از روش‌های اصلاح طیف فرکانسی، به‌خصوص روش‌هایی که یک تخمین‌زننده با حداقل میانگین مربعات خطا ایجاد می‌کنند، از یک توزیع گوسی با میانگین صفر برای مدل کردن قسمت‌های حقیقی و موهومی سیگنال‌های گفتار و نویز استفاده می‌کنند. هرچند مدل گوسی، تخمین خوبی برای ضرایب  $DFT$  نویز می‌باشد، ولی قسمت‌های حقیقی و موهومی ضرایب  $DFT$  سیگنال گفتار با تابع چگالی سوپر گوسی بهتر مدل می‌شوند. در مرجع

جدول ۱: روش‌های پیاده‌سازی شده

نام اختصاری	توضیح روش	فیلتر پیاده‌سازی شده
$PssRpo$	تفاضل طیف توان با استفاده از سیگنال به نویز پسین	$H(f, n) = \sqrt{\frac{Rpo(f, n)}{1 + Rpo(f, n)}}$
$PssRpr$	تفاضل طیف توان با استفاده از سیگنال به نویز پیشین	$H(f, n) = \sqrt{\frac{Rpr(f, n)}{1 + Rpr(f, n)}}$
$AssRpo$	تفاضل طیف دامنه با استفاده از سیگنال به نویز پسین	$H(f, n) = 1 - \sqrt{\frac{1}{1 + Rpo(f, n)}}$
$AssRpr$	تفاضل طیف دامنه با استفاده از سیگنال به نویز پیشین	$H(f, n) = 1 - \sqrt{\frac{1}{1 + Rpr(f, n)}}$
$WnRpo$	وینر با استفاده از سیگنال به نویز پسین	$H(f, n) = \frac{Rpo(f, n)}{1 + Rpo(f, n)}$
$WnRpr$	وینر با استفاده از سیگنال به نویز پیشین	$H(f, n) = \frac{Rpr(f, n)}{1 + Rpr(f, n)}$
$MMSE$	روش $MMSE$ [۲]	$H(f) = \frac{\sqrt{\pi}}{2} \frac{\sqrt{V}}{R_{po}(f) + 1} \exp\left(-\frac{V}{2}\right) \left[ (1+V)I_0\left(\frac{V}{2}\right) + VI_1\left(\frac{V}{2}\right) \right]$ $V = \frac{R_{pr}(f)}{1 + R_{pr}(f)} (R_{po}(f) + 1)$
$JMAP$	روش $JMAP$ [۱۸ و ۱۹]	$H(f) = \frac{R_{pr}(f) + \sqrt{R_{pr}^2(f) + 2(1 + R_{pr}(f)) R_{pr}(f) / R_{po}(f)}}{2(1 + R_{po}(f))}$
$MAP$	روش $MAP$ [۱۰]	$H_{MAP}(f) = u + \sqrt{u^2 + \frac{\alpha - 0.5}{2R_{po}}} \quad u = \frac{1}{2} - \frac{\mu}{4\sqrt{R_{po}R_{pr}}}, \quad \beta = 1, \quad \mu = 2.5$

که در آن  $E\{\}$  میانگین روی فریم‌های مختلف می‌باشد. سیگنال به نویز پسین فقط به طیف سیگنال نویزی در همان لحظه بستگی دارد. درمقابل، سیگنال به نویز پیشین به صورت رابطه‌ی زیر تعریف می‌گردد و این نسبت به میانگین توان سیگنال تمیز  $E\{S^2(f)\}$  وابسته است. به عبارت دیگر این نسبت به توان سیگنال نویزی در لحظات دیگر نیز بستگی دارد.

معمولاً توان نویز از لحظات سکوت گفتار تخمین زده می‌شود و با توجه به آنکه توان سیگنال نویزی در هر قاب

### ۳- تخمین سیگنال به نویز محلی

چنانچه گفته شد، از آنجا که فیلترهایی که در بهبود گفتار مورد استفاده قرار می‌گیرد، به صورت توابعی از نسبت توان سیگنال به نویز در هر قاب هستند، تخمین دقیق این نسبت اهمیت زیادی دارد و دقت بهبود گفتار مستقیماً به دقت تخمین این نسبت وابسته است. یک تعریف برای سیگنال به نویز در یک قاب می‌تواند نسبت توان لحظه‌ای سیگنال گفتار در هر قاب به توان نویز باشد. این تخمین به نام سیگنال به نویز پسین یا لحظه‌ای  $Rpo(f, n)$  شناخته می‌شود. رابطه‌ی ۱۳ بیان‌کننده‌ی این تخمین است.

صفر می‌باشد به طوری که وزن بیشتری به نسبت سیگنال به نویز پیشین داده شود. ایده‌ی اصلی این انتخاب زیاد بودن واریانس تخمین نسبت سیگنال به نویز پسین می‌باشد. در مراجع [۹، ۱۵ و ۱۸] با تجزیه و تحلیل در مورد نسبت سیگنال به نویز پیشین و پسین و نیز با شبیه‌سازی آن‌ها این مسأله مورد تأیید قرار گرفته است. نسبت سیگنال به نویز پسین تغییرات سیگنال را بهتر دنبال می‌کند و لذا ترکیب آن‌ها می‌تواند به کارایی بیشتر منجر شود.

شکل ۲) تغییرات توابع بهره‌ی MMSE و JMAP (به ترتیب روابط ۱۵ یا ۱۶) را برحسب  $R_{po}$  و  $R_{pr}$  نشان می‌دهد. محور افقی نشان دهنده‌ی اندازه SNR پیشین برحسب dB و محور عمودی SNR پسین برحسب dB می‌باشد. در واقع جهت رسم هر یک از این منحنی‌ها اندازه‌ی فیلتر مربوطه (از روابط ۱۵ یا ۱۶) به ازای مقادیر مختلف سیگنال به نویزهای پیشین و پسین محاسبه شده و بر حسب آن‌ها نمایش داده شده است. جهت نمایش از سطح خاکستری استفاده شده است، بدین ترتیب که نقاط روشن‌تر بهره‌ی بیشتر و نقاط تاریک‌تر بهره‌ی کمتر را نشان می‌دهند. نقاط کاملاً سفید نشان دهنده‌ی بهره‌ی صفر dB است.

مشخص است، محاسبه‌ی سیگنال به نویز پسین مطابق رابطه‌ی ۱۳ انجام پذیر است.

$$R_{pr}(f) = \frac{E\{S^2(f)\}}{E\{B^2(f)\}} \quad (14)$$

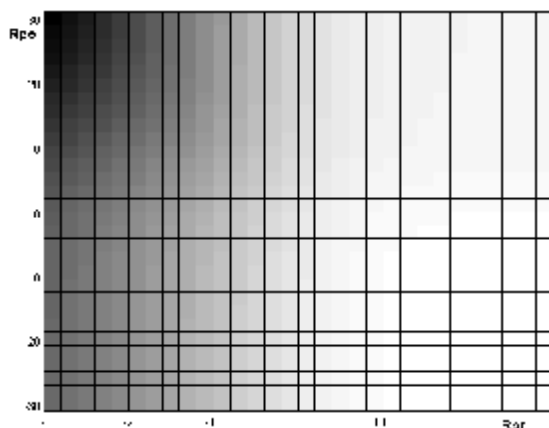
جهت تخمین سیگنال به نویز پیشین روش‌های مختلفی پیشنهاد شده است. یکی از روش‌های مورد استفاده جهت تخمین سیگنال به نویز پیشین روش (DD) Decision Directed می‌باشد. رابطه‌ی بازگشتی که برای این تخمین زنده پیشنهاد شده است، به صورت رابطه‌ی ۱۵ می‌باشد [۲]:

$$R_{pr}(f, r) = \lambda H^2(\hat{R}_{pr}(f, r-1), R_{po}(f, r-1)) R_{po}(f, r-1) + (1-\lambda) \max\{R_{po}(f, r), 0\}$$

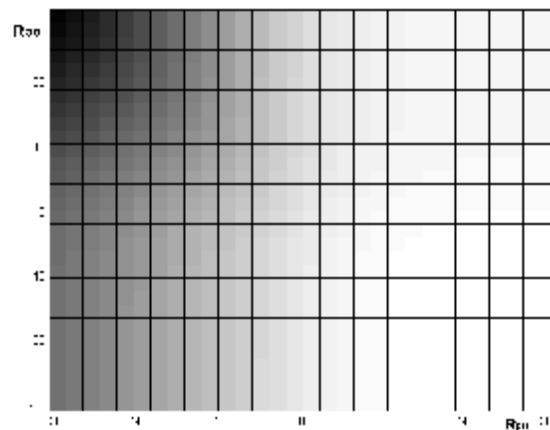
نسبت به صورت زیر تعریف می‌شود:

$$R_{comb}(f) = R_{po}^\lambda(f) R_{pr}^{(1-\lambda)}(f) \quad (16)$$

که در آن  $\lambda$  میزان نزدیکی ترکیبی به  $R_{pr}(f)$  و  $R_{po}(f)$  را کنترل می‌کند. در صورتی که  $\lambda$  برابر ۰/۵ انتخاب گردد، تخمین جدید میانگین هندسی دو نسبت قبلی است. شرایط حدی انتخاب اعداد صفر و یک، برای  $\lambda$  تخمین جدید را به ترتیب معادل سیگنال به نویز پیشین و پسین قرار می‌دهد. پیشنهاد ما برای  $\lambda$  مقادیر نزدیک به



ب: روش Wolfe



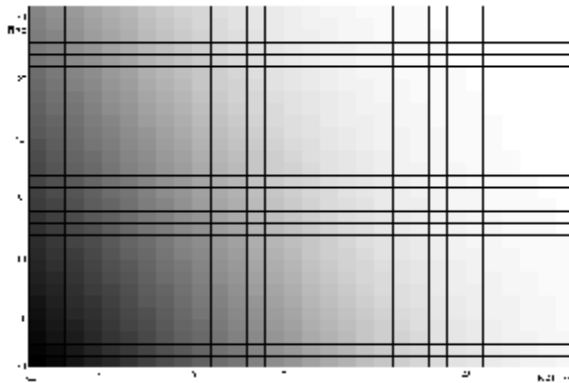
الف: روش MMSE

شکل ۲. تغییرات تابع بهره برحسب سیگنال به نویز پیشین و پسین. نواحی روشن‌تر مقادیر بالاتر تابع بهره را نشان می‌دهد. محورهای افقی و عمودی به ترتیب  $R_{po}$  و  $R_{pr}$  را نشان می‌دهند.

کوچک است و  $R_{po}$  مقداری بزرگ دارد، بهره‌ی اندکی ارائه نموده است. این رفتار را می‌توان یک ویژگی مثبت تلقی کرد، چرا که با توجه به اینکه  $R_{po}$  و  $R_{pr}$  دو تخمین متفاوت از یک کمیت می‌باشند، عدم توافق در این دو تخمین نشان

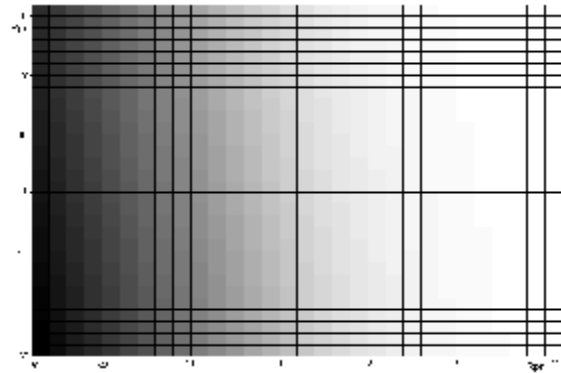
همان‌طور که در این دو شکل مشاهده می‌شود، به طور کلی با افزایش مقادیر سیگنال به نویزها اندازه‌ی فیلتر افزایش می‌یابد (شکل روشن‌تر می‌شود). به علاوه چنانچه در شکل دیده می‌شود، این دو فیلتر در مواردی که  $R_{pr}$

فیلترها کم باشد [۸]. در حالی که چنانچه دیده می‌شود این مقادیر نسبتاً زیاد است که این مسأله یک ویژگی منفی برای این دو روش می‌باشد. بهره‌ی فیلتر تفاضل دامنه‌ی طیف با استفاده از  $SNR$  ترکیبی به ازای مقادیر  $\lambda = 0.1$  و  $\lambda = 0.3$  در شکل (۳) رسم شده‌اند.



ب: روش پیشنهادی با  $\lambda = 0.3$

دهنده‌ی وجود خطا در یکی از دو تخمین است. تخمین  $Rpr$  از روی چند فریم متوالی به دست آمده است در حالی که  $Rpo$  تنها از روی یک فریم سیگنال نویزی محاسبه شده است، لذا می‌توان وزن بیشتری به تخمین  $Rpo$  داده و بهره فیلتر را اندک در نظر گرفت. بنابراین، این رفتار فیلترها توجیه مناسبی دارد. از سوی دیگر، در مواقعی که هر دو مقدار  $Rpo$  و  $Rpr$  کوچک بوده‌اند، انتظار این است که مقدار بهره‌ی این



الف: روش پیشنهادی با  $\lambda = 0.1$

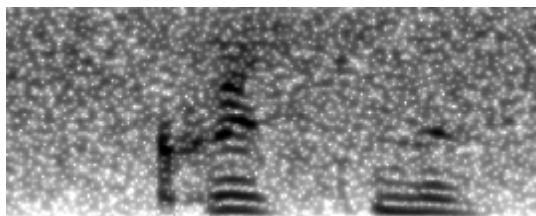
شکل ۳. تغییرات تابع بهره روش تفاضل دامنه توان با تخمین پیشنهادی بر حسب سیگنال به نویز پیشین و پسین. نواحی روشن‌تر مقادیر بالاتر تابع بهره را نشان می‌دهد. محورهای افقی و عمودی به ترتیب  $Rpo$  و  $Rpr$  را نشان می‌دهند.

شکل (۴) اسپکتروگرام گفتار تمیز، گفتار نویزی و گفتار بهبود یافته را برای روش تفاضل دامنه‌ی طیف هنگام استفاده از تخمین‌های مختلف  $SNR$  نشان می‌دهد. در اینجا یک فیلتر اصلاح طیف معیار، یعنی تفاضل طیف دامنه‌ی مورد استفاده قرار گرفته است و هدف ما بررسی رفتار تخمین زنده  $SNR$  می‌باشد. با ثابت نگه داشتن فیلتر اصلاح طیف این اطمینان حاصل می‌گردد که تنها پارامتری که در آزمایش‌های مختلف تغییر کرده است، تخمین زنده  $SNR$  بوده و مقایسه‌ی رفتار تخمین زنده‌های مختلف امکان پذیر می‌گردد. در قسمت‌های مختلف "ج"، "د"، "ه" و "و" از شکل (۴) به ترتیب از تخمین  $SNR$  پسین ( $Rpo$ )، تخمین  $SNR$  پیشین ( $Rpr$ ) تخمین  $SNR$  پیشنهادی با  $\lambda = 0.1$  و تخمین  $SNR$  پیشنهادی با  $\lambda = 0.2$  استفاده شده است و اسپکتروگرام سیگنال بهسازی شده رسم شده است. با توجه به شکل‌ها، فیلتری که از تخمین سیگنال به نویز پسین استفاده می‌کند، نویز باقیمانده‌ی زیادی دارد. استفاده از سیگنال به نویز پیشین، نویز باقیمانده را کم می‌کند؛ اما بخشی از سیگنال را نیز تخریب می‌کند. شکل‌های "ه" و

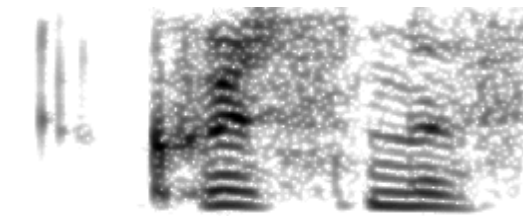
همان‌طور که در شکل فوق مشاهده می‌شود، در مواردی که  $Rpr$  کوچک است و  $Rpo$  مقدار بزرگی دارد، مقدار بهره کوچک می‌باشد. به علاوه، در مواقعی که هر دو مقدار  $Rpo$  و  $Rpr$  کوچک بوده‌اند، مقدار بهره‌ی این فیلترها بر خلاف شکل ۲ اندک می‌باشد؛ در حالتی که هر دو تخمین  $Rpo$  و  $Rpr$  کوچک هستند؛ این دو تخمین همدیگر را تأیید می‌نمایند و با اطمینان بیشتری می‌توان گفت که مؤلفه‌های سیگنال ورودی نویزی بوده و تضعیف آن‌ها در فرکانس داده شده و فریم داده شده توسط فیلتر توجیه‌پذیر است. این رفتار به‌عنوان مزیت روش ترکیبی محسوب می‌شود. در شکل (۳)-الف وزن کمتری به  $Rpo$  داده شده است، در حالی که در شکل‌های (ب) وزن بیشتری به  $Rpo$  داده شده است. با بیشتر شدن وزن  $Rpo$  در مواقع عدم توافق  $Rpo$  و  $Rpr$ ، کمیت آخر یعنی  $Rpo$  ملاک اصلی قضاوت فیلتر برای تعیین بهره قرار می‌گیرد که چندان مطلوب نمی‌باشد و مزایای ذکر شده در مورد شکل ۲ را از دست می‌دهد. لذا  $\lambda$  های بزرگ مطلوب نخواهد بود.

بیشتری خواهد بود. درعوض مؤلفه‌های سیگنال تمیز نیز کمتر حذف می‌شوند. به عبارت دیگر با تغییر پارامتر  $\lambda$  تنظیم مطلوب دو اثر اعوجاج اندک سیگنال و نویز باقیمانده امکان‌پذیر شده است.

"و" مربوط به روش پیشنهادی به سیگنال تمیز الف نزدیکتر بوده و با تغییر پارامتر  $\lambda$  امکان باقی‌گذاشتن مؤلفه‌های سیگنال مفید به میزان دلخواه فراهم آمده است. قابل ذکر است هرچه  $\lambda$  بزرگتر انتخاب گردد وزن بیشتری به  $SNR$  پسین داده می‌شود و لذا سیگنال بهسازی شده دارای نویز



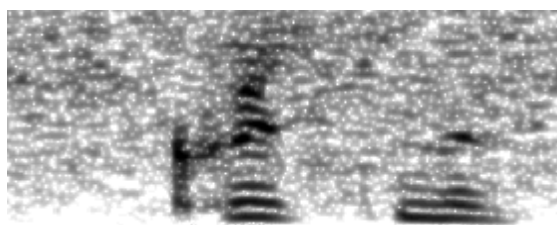
ب: سیگنال نویزی



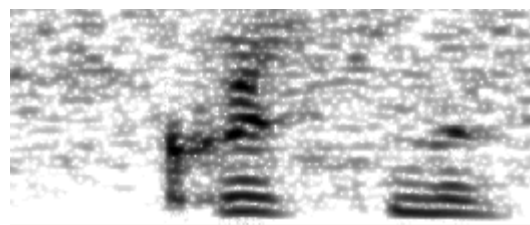
الف: سیگنال تمیز



د: سیگنال بهسازی شده با تخمین پسین روش AssRpr جدول (1)



ج: سیگنال بهسازی شده با تخمین پسین روش AssRpo جدول (1)



و: سیگنال بهسازی شده با روش پیشنهادی با  $\lambda = 0.2$



ه: سیگنال بهسازی شده با روش پیشنهادی با  $\lambda = 0.1$

شکل ۴. اسپکتروگرام سیگنال‌های تمیز، نویزی و بهسازی شده با روش‌های مختلف برای ارزیابی روش پیشنهادی تخمین  $SNR$

می‌یابد [۱۶]. در الگوریتم پیشنهادی سطح نویز باقیمانده در حد مطلوبی قرار می‌گیرد. این امر موجب می‌شود که سیگنال توسط الگوریتم حذف کمتر آسیب ببیند و به عبارت دیگر اعوجاج کمتری پیدا کند در عین حال نویز دریافتی توسط شنونده نیز در حد نویز محیط باشد. در این مقاله برای دستیابی به سطح نویز باقیمانده‌ی معین در روش‌های حذف نویز یا به تعبیر دیگر برای کنترل سطح توان نویز قسمتی از نویز اولیه به‌عنوان سیگنال مطلوب لحاظ می‌شود. در این روش فیلترهای معرفی شده علاوه بر  $SNR$  تابعی از یک پارامتر دیگر،  $\alpha$ ، هستند که این

#### ۴- پیشنهاد روش‌های حذف نویز با سطح نویز قابل تنظیم

در این بخش نحوه‌ی اصلاح تخمین سیگنال به نویز به‌منظور دستیابی به سطح نویز باقیمانده معین بررسی می‌شود. در روش‌های معمول حذف نویز، فیلترها چنان تنظیم می‌شوند که تمام نویز زمینه حذف شود؛ اما مسأله آن است که حذف کامل نویز در محیط‌هایی که سطح نویز معینی وجود دارد چندان مفید نخواهد بود. علاوه بر آن در سیستم حذف نویز با افزایش حذف نویز اعوجاج نیز افزایش

$$H(f, n) = \sqrt{\frac{SNR(f, n) + \alpha^2}{1 + SNR(f, n)}} \quad (19)$$

$$H(f, n) = 1 - \sqrt{\frac{1 + (\alpha^2 - 2\alpha)}{1 + SNR(f, n)}} \quad (20)$$

$$H(f, n) = \frac{SNR(f, n) + \alpha}{1 + SNR(f, n)} \quad (21)$$

جهت ارزیابی کارایی روش پیشنهادی در زیربخش ۳-۱ برای تخمین  $SNR$  و مقایسه آن با فیلترهای دیگر در هنگام کنترل میزان کاهش نویز، این روش به همراه فیلتر تفاضل دامنه طیف در این قسمت بکار گرفته شده است. فیلتر به کار رفته در این قسمت به صورت زیر تعریف می‌شود.

$$H_{comb}(f, n) = 1 - \sqrt{\frac{1 - \alpha}{1 + R_{comb}(f, n)}} \quad (22)$$

که در آن  $R_{comb}(f, n)$  از رابطه‌ی (۱۶) به‌ازای  $\lambda = 0.1$  به‌دست می‌آید.

$$R_{comb}(f, n) = R_{po}^{0.1}(f, n) \cdot R_{pr}^{0.9}(f, n) \quad (23)$$

نتایج پیاده‌سازی روش‌های فوق‌الذکر در بخش پنجم، گزارش می‌گردد.

#### ۴-۱ شکل دهی نویز باقی مانده

در روش‌های کنترل سطح نویز باقیمانده که تاکنون بررسی شد، فیلتر حذف نویز به‌گونه‌ای عمل می‌کنند که نویز باقیمانده ضریبی از نویز زمینه باشد. کنترل سطح نویز به شیوه‌ای که بیان شد، (ضریب  $\alpha$ )، اثرات مطلوبی در کاهش میزان اعوجاج سیگنال دارد، اما در پاره‌ای موارد برای برخی از انواع نویزها با توجه به آن که شکل طیفی نویز تغییر نمی‌کند، از میزان آزاردهندگی نویز چندان کاسته نمی‌شود. به عبارت دیگر در مورد بعضی نویزها، علاوه بر توان نویز شکل طیفی نویز در شنوایی و میزان آزاردهندگی تأثیر دارد. در این بخش روش‌هایی معرفی می‌شود که نویز باقیمانده را شکل دهی‌کنند. در این روش‌ها هدف آن است که نویز باقیمانده از نظر شنونده خوشایند باشد. جهت دستیابی به این امر نویز باقیمانده با یک نویز مطلوب جایگزین می‌شود. در صورتی که بخواهیم در روش‌های کنترل سطح نویز امکان شکل‌دهی نویز به شکل مطلوب را داشته باشیم، در رابطه‌ی (۱۹) تا (۲۱)، پارامتر  $\alpha$  تابعی از  $f$  می‌شود. در این حالت مثلاً برای تفاضل طیف دامنه، رابطه به صورت زیر نوشته می‌شود:

پارامتر سطح نویز باقیمانده را تعیین می‌کند. در صورتی که سطح مشخصی از حذف نویز، مورد نظر باشد باید بخشی از نویز زمینه نیز در  $\hat{S}$  باقی بماند. به عبارت دیگر در این حالت سیگنال تخمینی مطلوب، به صورت زیر می‌باشد:

$$\hat{S}(f, n) = S(f, n) + \alpha B(f, n) \quad (17)$$

که در آن میزان نویز باقیمانده را تعیین می‌کند و  $S(f, n)$ ،  $B(f, n)$  و  $\hat{S}(f, n)$  به ترتیب دامنه‌ی طیف سیگنال تمیز، نویز و سیگنال تخمینی مطلوب می‌باشند؛ در این حالت مقدار افزایش نسبت سیگنال به نویز در سیگنال تخمینی یا بهبودیافته نسبت به سیگنال نویزی با  $G$  نشان داده می‌شود و برابر خواهد بود.

$$G = 10 \log \frac{SNR(enhanced)}{SNR(noisy)} = 10 \log \frac{S^2 / \alpha^2 B^2}{S^2 / B^2} = -20 \log \alpha \quad (18)$$

که در آن  $SNR(enhanced)$  نسبت سیگنال به نویز در سیگنال بهسازی شده و  $SNR(noisy)$  نسبت سیگنال به نویز در سیگنال نویزی اولیه می‌باشد. به عنوان مثال برای دستیابی به بهبودی برابر 10db در سیگنال به نویز یا به عبارت دیگر کاهش 10db در نویز اولیه، مقدار  $\alpha$  برابر 0.32 تعیین می‌شود.

در روش‌هایی که تمامی نویز زمینه را حذف می‌کنند،  $\alpha$  برابر صفر خواهد بود. تخمین سیگنال به نویز، به‌منظور تخمین سیگنال با کاهش مشخص سطح نویز باقیمانده برای چند فیلتر ارائه شده است.

در بخش دوم، فیلتر اصلاح طیف فرکانسی برای چند روش متداول با فرض حذف کامل نویز برحسب  $SNR$  محاسبه گردید. در این بخش همان روابط برای حذف قسمتی از نویز محاسبه خواهد شد. به طوری که با مقدار مشخص برای  $G$  کاهش نویز، فیلتر اصلاح طیف فرکانسی تعیین شود. در مورد فیلترهای فرکانسی مطرح شده در بخش ۲، در صورتی که در این فیلترها حذف کامل نویز مورد نظر نباشد، بلکه باقی ماندن  $\alpha$  برابر نویز اولیه در سیگنال مطلوب مطابق رابطه (۱۷) مورد نظر باشد، روابط فیلترها با اضافه کردن پارامتر  $\alpha$  اصلاح می‌شوند. به این ترتیب روابط (۱۹)، (۲۰)، (۲۱) برای روش‌های تفاضل طیف توان، تفاضل طیف دامنه و فیلتر وینر محاسبه می‌شوند. مقدار پارامتر  $\alpha$  بیانگر قسمتی از نویز است که در سیگنال مطلوب باقی مانده است.  $\alpha$  برابر صفر همان فیلتر اولیه را می‌دهد، درحالی که مقدار  $\alpha$  برابر یک معادل عدم اعمال فیلتر اصلاح طیف فرکانسی است.

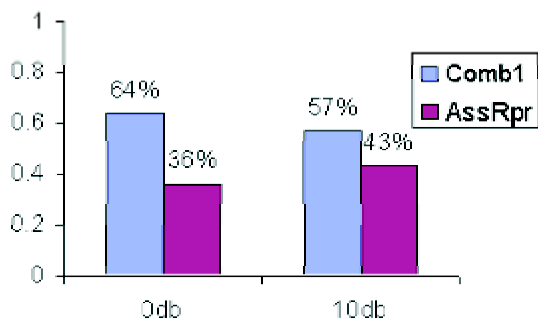
ضریب فراموشی است که برابر ۰/۹۸ در نظر گرفته شده است.

روش‌های پیاده‌سازی شده در سه زیربخش با هم مقایسه شده‌اند. در زیر بخش اول نتایج مربوط به روش‌های تخمین سیگنال به نویز ارئه شده است، زیربخش دوم مربوط به روش‌های کنترل سطح نویز می‌باشد و زیربخش سوم به ارزیابی شکل‌دهی نویز اختصاص دارد.

### ۵-۱ ارزیابی روش‌های تخمین سیگنال به نویز محلی

جهت انجام مقایسه‌ی روش‌های مختلف تخمین نویز، بهره‌ی سیگنال به نویز گفتار بهبود یافته برای روش‌های مختلف و نویزهای متفاوت در جدول (۲) نشان داده شده است. داده‌های جدول با میانگین‌گیری روی نتایج حاصله از آزمایش روی چهار جمله به‌دست آمده است. در این جدول منظور از Comb1، Comb2 و Comb3 همان روش پیشنهادی برای تخمین SNR (رابطه‌ی ۱۶) به همراه فیلتر تفاضل دامنه‌ی طیف می‌باشد که به ترتیب برای  $\lambda = 0.1$ ،  $\lambda = 0.2$  و  $\lambda = 0.3$  محاسبه شده‌اند. نتایج به‌دست‌آمده نشان می‌دهد که روش پیشنهادی از نظر نسبت سیگنال به نویز گفتار پردازش شده با روش‌های دیگر قابل مقایسه است.

برای مقایسه‌ی روش پیشنهادی تخمین نسبت سیگنال به نویز با روش decision-directed، یک تست شنوایی غیر رسمی با چهار شنونده انجام شده است. در این آزمایش فیلتر تفاضل دامنه‌ی طیف به‌همراه هر یک از روش‌های تخمین SNR فوق به‌کار برده شد. آزمایش (۵) روی چهار جمله از دو گوینده مرد انجام شد. فایل‌های انتخابی با نویزهای سفید، ماسین و همهمه به‌ازای SNRهای 0db و 10db ترکیب شده بودند. در این آزمایش از شنوندگان درخواست شد این دو روش تخمین SNR را با هم مقایسه و درصد ترجیح هر یک را مشخص نمایند. شکل (۶) درصد انتخاب هر روش را توسط شنوندگان در دو نسبت سیگنال به نویز نشان می‌دهد.



شکل ۶. نتایج تست شنوایی برای مقایسه Comb1 و AssRpr

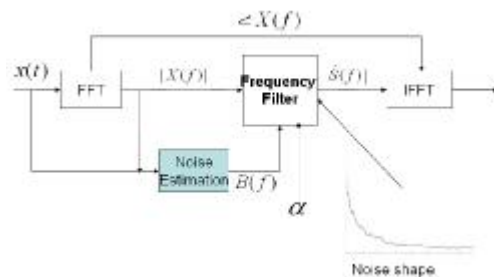
$$H(f) = \sqrt{\frac{SNR(f) + \alpha(f)^2}{1 + SNR(f)}}, \alpha(f) = \frac{|D(f)|}{|B(f)|} \quad (24)$$

در رابطه‌ی فوق  $D(f)$  نویز مطلوب با شکل طیفی از پیش تعیین شده است. چنانچه گفته شد نویز مطلوب به‌گونه‌ای انتخاب می‌شود که از نظر شنوایی خوشایند باشد. در عمل  $\alpha(f)$  در هر فریم محاسبه می‌شود.

$$\alpha(f, n) = \begin{cases} \frac{|D(f, n)|}{|B(f, n)|} & |D(f)| \leq |B(f)| \\ 1 & |D(f)| > |B(f)| \end{cases} \quad (25)$$

در رابطه‌ی فوق در فرکانس‌هایی که سطح نویز مطلوب از نویز باقیمانده بیشتر است، سطح نویز باقیمانده تغییری نمی‌کند.

شکل (۵) بلوک دیاگرام پیشنهادی برای سیستم بهبود گفتار را نشان می‌دهد. پارامتر  $\alpha$  چنان که پیشتر گفته شد، می‌تواند با توجه به سطح نویز محیط تعیین شود. شکل نویز انتخاب شده جهت شکل‌دهی چنان انتخاب می‌شود که برای گوش خوشایند باشد. انتخاب نویزهای پایین‌گذر برای این منظور مناسب به نظر می‌رسد.



شکل ۵. بلوک دیاگرام پیشنهادی برای شکل‌دهی نویز در بخش بعد روش‌های شکل‌دهی نویز ارزیابی می‌شود.

### ۵- ارزیابی

جهت پیاده‌سازی و ارزیابی فیلترهای اصلاح شده، طول پنجره‌ی پردازش برابر ۳۲ میلی‌ثانیه و فرکانس نمونه‌برداری برابر ۸۰۰۰ هرتز، همپوشانی ۵۰٪ و پنجره‌ی هنینگ انتخاب شده است. تخمین توان نویز از روی فایل نویز صورت گرفته است. هدف از این عمل، کاهش اثرگذاری خطای تخمین نویز در ارزیابی و مقایسه‌ی روش‌ها بوده است. طیف توان نویز به‌کمک رابطه‌ی زیر از روی فایل نویزی میانگین‌گیری شده است:

$$P_{noise}(f, n) = \lambda P_{noise}(f, n-1) + (1-\lambda) |D(f, n)|^2 \quad (26)$$

که در آن  $P_{noise}(f, n-1)$  طیف توان نویز تخمین زده شده در فریم قبلی می‌باشد و  $|D(f, n)|^2$  تخمین دوره‌ی کوتاه طیف نویز در فریم کنونی است که از روی ۱۰ فریم درست قبل از شروع هر جمله مورد تست تخمین زده شده است.  $\lambda$  یک

جدول ۲ بهبود در نسبت سیگنال به نویز گفتار پردازش شده بر حسب dB.

الف) نویز سفید			ب) نویز همه‌مهمه			ج) نویز اتومبیل		
0db	10db		0db	10db		0db	10db	
6.7	3.7	AssRpr	5.1	2.1	AssRpr	13.5	10.4	AssRpr
9.7	4.9	AssRpo	8.7	4.4	AssRpo	11.3	6.2	AssRpo
8.3	4.0	2-step	5.4	1.4	2-step	14.4	11.4	2-step
7.3	4.2	Comb1	5.6	2.5	Comb1	14	10.8	Comb1
9	5.5	Comb2	7.5	4	Comb2	13.2	8.5	Comb2
9.3	5.6	Comb3	7.9	4.2	Comb3	12.7	7.8	Comb3

## ۲-۵ ارزیابی روش‌های حذف نویز با کنترل سطح

### نویز باقی مانده

در روش‌های ارزیابی به عمل آمده برای روش‌های حذف کنترل شده نویز از دو معیار افزایش سیگنال به نویز<sup>۱</sup> و کاهش میزان نویز باقیمانده<sup>۲</sup> استفاده شده است. این معیارها برای تعیین دقت عملکرد سیستم‌های بهبود گفتار، مورد استفاده قرار گرفته‌اند [۱۷] و مورد تأیید سازمان ETSI نیز هستند. برای محاسبه‌ی این معیار ابتدا سیگنال، به سه سطح مختلف نویز تقسیم می‌شود، سپس در هر سطح نویز، نسبت سیگنال به نویز به طور جداگانه محاسبه می‌شود. آنگاه از سیگنال به نویزهای به دست آمده به طور وزن دار (با توجه به تعداد فریم‌های هر سطح) میانگین‌گیری می‌شود. در مورد NPLR، میزان کاهش توان سیگنال در نواحی غیر گفتاری محاسبه می‌شود. جزئیات بیشتر در مرجع [۱۷] موجود است. در آزمایش‌های انجام شده در این زیربخش فیلترهای اصلاح طیف برای دستیابی به یک میزان کاهش نویز (NPLR) مشخص تنظیم می‌شوند، سپس میزان SNRI به دست آمده در آن NPLR برای روش‌های مختلف با هم مقایسه می‌شود.

آزمایش‌های انجام شده روی چهار جمله از دو گوینده‌ی زن و دو گوینده‌ی مرد انجام شده است. جملات از پایگاه داده‌ی TIMIT انتخاب شده است. به هر کدام از جملات سه نوع نویز سفید، همه‌مهمه<sup>۳</sup> و اتومبیل<sup>۴</sup> با نسبت‌های سیگنال به نویز مختلف اضافه شده است. نویزها از پایگاه داده‌ی Noise92 انتخاب شده اند.

همان‌طور که توضیح داده شد، معیار NPLR بیانگر کاهش سطح نویز موجود در یک فرآیند بهبود گفتار است

که با توجه به اطلاعات لحظات سکوت محاسبه می‌شود. از سوی دیگر، SNRI بیانگر افزایش SNR پس از انجام بهبود گفتار است که از روی کل سیگنال محاسبه می‌شود. در آزمایش‌های انجام شده توانایی روش‌ها در دستیابی به SNRI بیشتر با NPLR یکسان مقایسه شده است. همان‌طور که مشاهده می‌شود، مقدار SNRI به دست آمده برای هر SNR ورودی و هر، با مقدار NPLR مربوطه تقریباً یکسان می‌باشد و کمتر از 3db با آن تفاوت دارد که قابل چشم‌پوشی می‌باشد.

برای ارزیابی شهودی<sup>۵</sup> روش‌های پیشنهادی یک تست شنوایی با چهار شنونده صورت گرفته است. ویژگی‌های مورد توجه در این ارزیابی، وجود پژواک<sup>۶</sup>، نویز موسیقی، ایجاد هرگونه اثر غیر طبیعی در نویز زمینه<sup>۷</sup> علاوه بر نویز و ایجاد اثرات غیر طبیعی در گفتار<sup>۸</sup> بوده است. از شنوندگان خواسته شده بود که اعداد ۱ و ۲ و ۳ را به ترتیب به غیر قابل درک بودن<sup>۹</sup>، قابل درک بودن ولی غیر آزاردهنده و آزاردهنده بودن به هر یک از ویژگی‌های مذکور نسبت بدهند. باید توجه کرد که برخلاف روش نمره‌دهی MOS در روش نمره-دهی حاضر نمره‌ی کمتر به معنی بهتر بودن روش است. در نهایت، نمرات چهار شنونده، میانگین‌گیری شده‌اند. فایل‌های بهسازی شده، برای هر یک از نویزهای سفید، ماشین و همه‌مهمه و برای یک SNR ورودی و NPLR مشخص، با هم مقایسه شده‌اند که نتایج آنها در شکل‌های ۸ تا ۱۰ آورده شده‌اند.

<sup>5</sup> - subjective

<sup>6</sup> - echo

<sup>7</sup> - background artifact

<sup>8</sup> - speech artifact

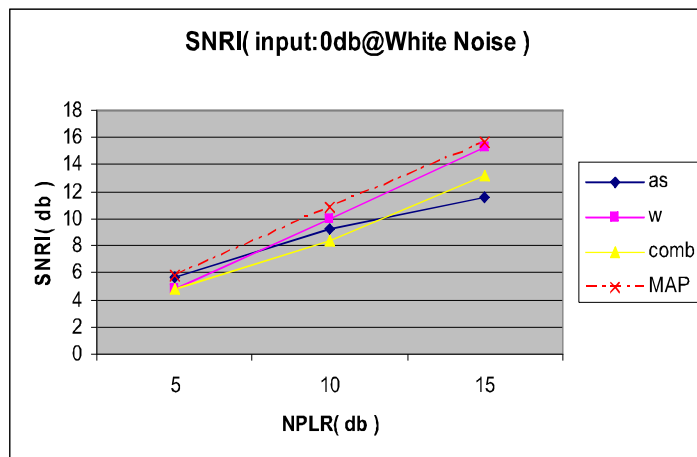
<sup>9</sup> - not noticeable

<sup>1</sup> - Signal to Noise Ratio Improvement

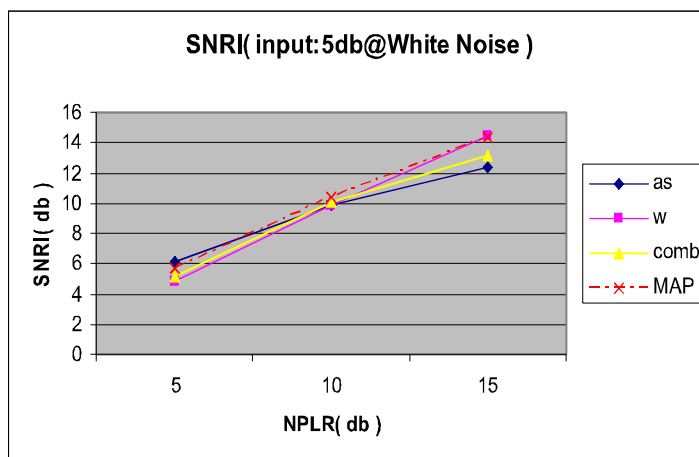
<sup>2</sup> - Noise Power Level Reduction

<sup>3</sup> - babble

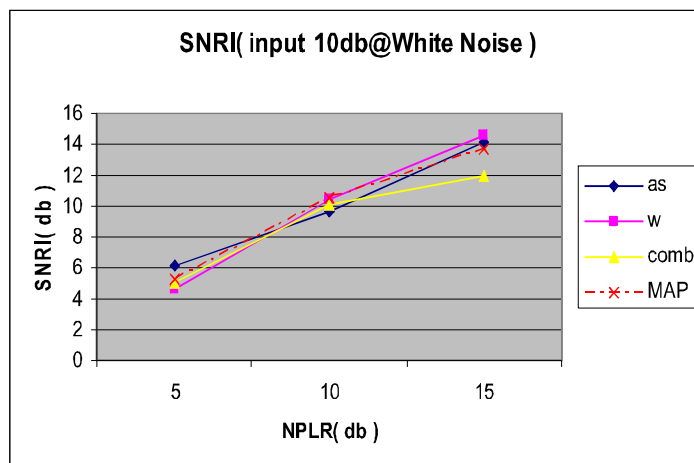
<sup>4</sup> - Volvo



input SNR = 0db (الف)

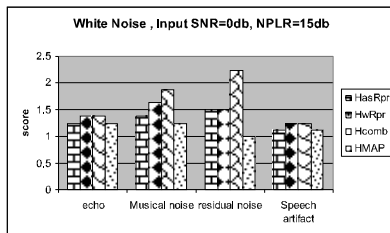


input SNR = 5db (ب)

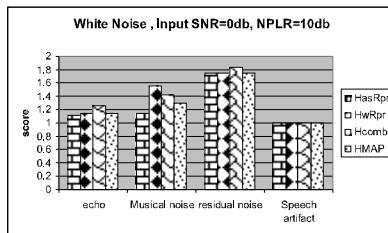


input SNR = 10db (ج)

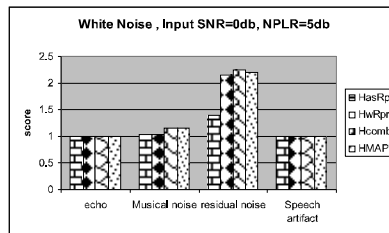
شکل ۷. SNRI بدست آمده برای چهار روش انتخابی به ازای NPLR های مختلف برای نویز سفید و SNR های ورودی مختلف



ج)  $NPLR = 15db$

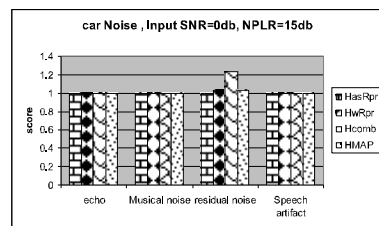


ب)  $NPLR = 10db$

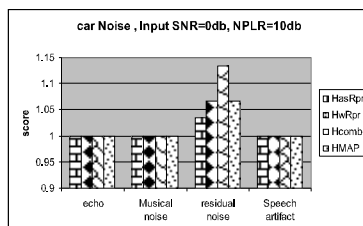


الف)  $NPLR = 5db$

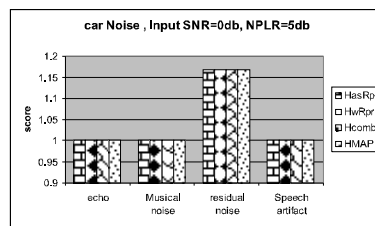
شکل ۸. نتایج تست شنوایی برای چهار روش انتخابی به ازای  $NPLR$ های مختلف برای نویز سفید با  $input\ SNR=0db$



ج)  $NPLR = 15db$

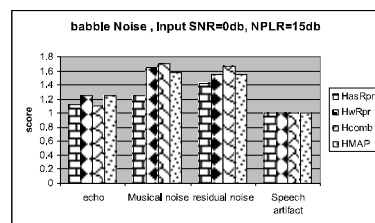


ب)  $NPLR = 10db$

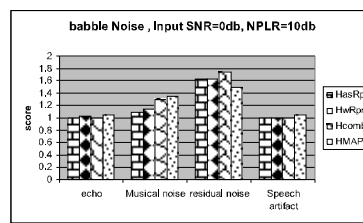


الف)  $NPLR = 5db$

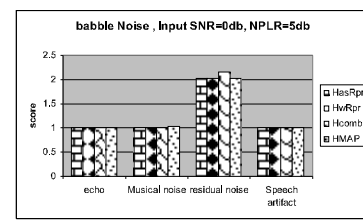
شکل ۹. نتایج تست شنوایی برای چهار روش انتخابی به ازای  $NPLR$ های مختلف برای نویز ماشین با  $input\ SNR=0db$



ج)  $NPLR = 15db$



ب)  $NPLR = 10db$



الف)  $NPLR = 5db$

شکل ۱۰. نتایج تست شنوایی برای چهار روش انتخابی به ازای  $NPLR$ های مختلف برای نویز همهمه با  $input\ SNR=0db$

باقیمانده برای کاهش 10db در نویز ورودی آزمایش شده‌اند. در ابتدا میزان حذف نویز 10db بدون شکل‌دهی نویز مورد نظر قرار گرفته است، سپس آزمایش فوق با شکل‌دهی نویز باقی‌مانده تکرار شده است. نویزهای ورودی واقعی مورد نظر قرار گرفته‌اند. در این حالت توان نویز باقی‌مانده برابر توان نویز باقی‌مانده در حالت قبلی است؛ به عبارت دیگر نویز باقی‌مانده با یک نویز پایین‌گذر جایگزین شده است. در نویز پایین‌گذر انتخاب شده، فرکانس قطع 4KHz و شکل طیف به صورت خطی است، توان نویز در 0khz برابر 30db و در 4khz برابر 0db است.

شکل‌های (۱۱) و (۱۲) نسبت بهبود سیگنال به نویز را زمانی که از شکل‌دهی استفاده می‌کنیم و زمانی که از شکل‌دهی استفاده نمی‌کنیم، نشان می‌دهند. نتایج آزمایش برای ۵ سطح نویز مختلف (0db, 5db, 10db, 15db و 20db) برای ۵ نوع نویز مختلف گزارش شده است. نویزهای بالاگذر و پایین‌گذر موجود در جدول به طور مصنوعی ایجاد شده‌اند. فیلتر مورد استفاده در این آزمایش یک فیلتر تفاضل

مقایسه‌های انجام شده، به صورت نسبی است؛ بدین معنی که در هر  $NPLR$  و هر نوع نویز، چهار روش بهبود گفتار با هم مقایسه شده‌اند. به عبارت دیگر هر نمودار به تنهایی معنا دارد و مقادیر دو نمودار قابل مقایسه نیست. همان‌گونه که مشاهده می‌شود، بیشترین اثرات<sup>۱</sup> مربوط به نویز موزیکال و آثار غیر طبیعی نویز زمینه<sup>۲</sup> می‌باشند و تفاوت‌ها از نظر تخریب اندک می‌باشد. همچنین مشاهده می‌شود که کمترین میزان نویز موزیکال و نویز باقیمانده مربوط به روش تفاضل طیف دامنه می‌باشد. پس از آن روش‌های MAP و وینر از نویز موزیکال و باقیمانده‌ی یکسانی برخوردارند و در نهایت Hcomb بیشترین میزان نویز موزیکال و باقیمانده را در بین چهار روش مورد مقایسه به خود اختصاص داده است.

### ۳-۵ ارزیابی روش‌های شکل‌دهی نویز

هدف این زیربخش ارزیابی شکل‌دهی نویز باقیمانده است. برای این منظور روش‌های حذف نویز با کنترل سطح نویز

<sup>1</sup> artifact

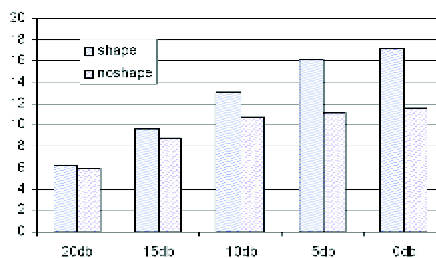
<sup>2</sup> background artifact

افزودن پارامتر کنترل بهره‌ی فیلتر به فیلترهای اصلاح طیفی می‌تواند به کاهش سطح نویز دلخواه دست یافت.

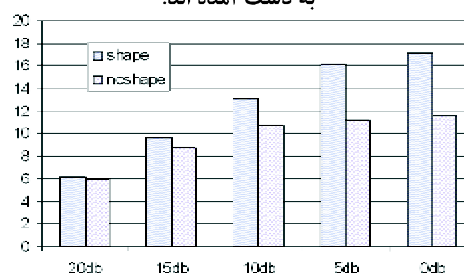
برای ارزیابی از دو معیار NPLR و SNRI استفاده شده است. این دو معیار جهت اندازه‌گیری بهره‌ی سیگنال به نویز و میزان نویز باقیمانده در سیگنال به کار رفته است و آزمایش‌های نشان دهنده‌ی هم‌جهت بودن نتایج حاصل از این معیارها و تست‌های شنیداری می‌باشد.

در تخمین سیگنال به نویز، نتایج حاصله از تست شنیداری و همچنین شکل طیف‌های رسم شده، نشان دهنده‌ی مفید بودن روش ترکیبی بوده است. آزمایش‌های مربوط به کنترل سطح نویز نشان دادند که روش تفاضل طیف دامنه می‌تواند، با تنظیم پارامتر کنترل بهره، محدود‌ی وسیعی از کاهش سطح نویز (از 5db تا بیش از 20db) را در پی داشته باشد. انجام تست‌های شنوایی نیز قابل قبول بودن نتایج حاصله را از دو جنبه نویز زمینه و کیفیت سیگنال صوتی تأیید نمود.

طیف دامنه بوده و فیلتر به‌گونه‌ای تنظیم شده است که سطح نویز در سیگنال بهبود یافته 10db کاهش یابد.



شکل ۱۱. افزایش سیگنال به نویز در سیگنال به نویزهای مختلف با استفاده از شکل دهی نویز و بدون استفاده از شکل دهی نویز. نتایج با میانگین‌گیری روی انواع نویزهای مختلف به دست آمده اند.



شکل ۱۲. افزایش سیگنال به نویز با حضور نویزهای مختلف با استفاده از شکل دهی نویز و بدون استفاده از شکل دهی نویز. نتایج با میانگین‌گیری روی سیگنال به نویزهای مختلف به دست آمده اند.

## ۸- مراجع

- [1] S. F. Boll, "Suppression of Acoustic Noise in Speech Using Spectral Subtraction," *IEEE International Conference on Acoustics, Speech, and Signal Processing*, pp. 113-120, Apr. 1979.
- [2] Y. Ephraim, D. Malah, "Speech enhancement using a minimum mean-square error short-time spectral amplitude estimator," *IEEE Trans. on Acoustics, Speech, and Signal Processing*, vol. 32, pp. 1109-1121, Dec. 1984.
- [3] R. Martin, "Spectral subtraction based on minimum statistics," in *Proc. 7th Eur. Signal Process. Conf. (EUSIPCO'94)*, pp. 1182-1185, Edinburgh, UK, 13-16 September, 1994.
- [4] R. Martin, "Noise power spectral density estimation based on optimal smoothing and minimum statistics," *IEEE Trans. Speech Audio Process.* vol. 9, pp. 504-512, July 2001.
- [5] I. Cohen, "Noise estimation by minima controlled recursive averaging for robust speech enhancement," *IEEE Signal Process. Lett.*, vol. 9, no. 1, pp. 12-15, January 2002.
- [6] I. Cohen, "Noise spectrum estimation in adverse environments: improved minima controlled recursive averaging," *IEEE Trans. Speech Audio Process.*, vol. 11, pp. 466 - 475, September 2003.
- [7] R. J. McAulay, M. L. Malpass, "Speech enhancement using a soft-decision noise suppression filter," *IEEE Transactions on*

## ۷- نتیجه‌گیری

فیلترهای اصلاح طیفی را می‌توان به‌صورت تابعی از سیگنال به نویز نشان داد. نسبت سیگنال به نویز برای یک نمونه فرکانسی در یک فریم داده شده از یک سیگنال گفتار محاسبه می‌شود و نقش مهمی در محاسبه‌ی فیلتر اصلاح فرکانس دارد. روش‌های قبلی برای تخمین این نسبت در مقاله‌ی حاضر بررسی و پیاده‌سازی شده‌اند و نقش تخمین سیگنال به نویز در روش‌های حذف نویز مورد بررسی قرار گرفته است. به‌علاوه یک روش ترکیبی برای تخمین سیگنال به نویز پیشنهاد شده است. در روش پیشنهادی تخمین نویز تابعی از سیگنال به نویز پیشین و پسین بوده و نسبت به تغییرات هر دو حساس است. با استفاده از روش پیشنهادی می‌توان میزان نویز باقیمانده و اغتشاش را به نحو مطلوبی تنظیم کرد. در این مقاله همچنین، استفاده از حذف مقدار کنترل شده‌ی نویز از سیگنال نویزی به‌عنوان روشی برای کاهش اعوجاج مطرح شده است و نشان داده شد که با



محسن رحمانی دوره‌ی کارشناسی را در رشته‌ی مهندسی کامپیوتر-سخت افزار از دانشگاه صنعتی شیراز در سال ۱۳۷۸ به پایان رساند. وی درجه‌ی کارشناسی ارشد و دکترا را در رشته مهندسی کامپیوتر-معماری کامپیوتر از دانشگاه علم و صنعت ایران به ترتیب در سال های ۱۳۸۰ و ۱۳۸۷ دریافت کرد. زمینه‌ی تحقیقاتی وی پردازش و بهسازی سیگنال گفتار است. او در حال حاضر عضو هیئت علمی دانشکده‌ی مهندسی دانشگاه اراک می باشد.

نشانی رایانامک (پست الکترونیکی) ایشان عبارت است از:

m\_rahmani@iust.ac.ir



روح ا. عبدی پور دوره‌ی کارشناسی را در رشته‌ی مهندسی کامپیوتر-نرم افزار و دوره‌ی کارشناسی ارشد را در رشته‌ی مهندسی کامپیوتر- هوش مصنوعی از دانشگاه علم و صنعت ایران به ترتیب در سال های ۱۳۸۰ و ۱۳۸۲ دریافت کرد. زمینه‌ی تحقیقاتی وی پردازش و بهسازی سیگنال گفتار و پایگاه داده است. او در حال حاضر عضو هیئت علمی دانشگاه ملایر می باشد.

نشانی رایانامک (پست الکترونیکی) ایشان عبارت است از:

r\_abdipour@iust.ac.ir



بابک ناصرشریف متولد تهران در سال ۱۳۵۳ است. وی دوره‌ی کارشناسی را در رشته‌ی مهندسی کامپیوتر-سخت افزار از دانشگاه صنعتی امیرکبیر در سال ۱۳۷۶ به پایان رساند. وی درجه‌ی کارشناسی ارشد را در رشته‌ی مهندسی کامپیوتر- هوش مصنوعی در سال ۱۳۷۹ از دانشگاه علم و صنعت ایران و درجه‌ی دکترا را در همین شاخه در سال ۱۳۸۶ و از همین دانشگاه دریافت کرد. رشته‌ی تخصصی وی پردازش و بازشناسی سیگنال گفتار است. او در حال حاضر عضو هیئت علمی گروه مهندسی دانشگاه گیلان می باشد.

نشانی رایانامک (پست الکترونیکی) ایشان عبارت است از:

nasser\_s@iust.ac.ir

سال ۱۳۸۷ شماره‌ی ۲ پیاپی ۱۰

- Acoustics, Speech, and Signal Processing*, vol28, no. 2, pp. 137-145, Apr. 1980
- [8] O. Cappe, "Elimination of the musical noise phenomenon with the Ephraim and Malah noise suppressor," *IEEE Transactions on Speech and Audio Processing*, Vol. 2, pp 345 - 349, Apr 1994.
- [9] P. Scalart, J.V. Filho, "Speech enhancement based on a priori signal to noise estimation," *IEEE International Conference on Acoustics, Speech, and Signal Processing*, Vol. 2 , pp 629 - 632, May 1996.
- [10] T. Lotter and P. Vary, "Noise Reduction by Joint Maximum a Posteriori Spectral Amplitude and Phase Estimation with Super-Gaussian Speech Modeling," *European Signal Processing Conference*, Sep 2001.
- [11] P.J. Wolfe, S.J. Godsill, "simple alternative to the Ephraim and Malah suppression rule for speech enhancement," *11th IEEE Workshop on Statistical Signal Processing*, pp 496-499, Aug 2001.
- [12] P. J. Wolfe and S. J. Godsill. "Efficient alternatives to the Ephraim and Malah suppression rule for audio signal enhancement," *EURASIP Journal on Appl. Sig. Processing*, pp 1043-1051, 2003.
- [13] X. Huang, A. Acero, and H. W. Hon, *Spoken Language Processing: A Guide to Theory, Igorithm, and System Development*, Prentice Hall PTR, Upper Saddle River, N.J., 2001.
- [14] Y. Ephraim, H.L. Ari, W.J.J. Roberts, *A brief survey of speech enhancement*, in *The Electronic Handbook*, Second edition, CRC Press, pp.2088-2097, 2003.
- [15] I. Cohen, "On the Decision-Directed Estimation Approach of Ephraim and Malah," *IEEE International Conference on Acoustics, Speech, and Signal Processing*, vol.1, pp 293-296. May 2004.
- [16] Y. Ephraim and H. L. Van Trees, "A signal subspace approach for speech enhancement," *IEEE Trans. Speech and Audio Proc.*, vol. 3, pp. 251-266, July 1995.
- [17] E. Paaajanen, B. Ayad, V.V. Mattila , "New Objective Measures for Characterization of Noise Suppression Algorithms," *IEEE Workshop on Speech Coding*, pp.23-25, 2000.

[۱۸] ا. اکبری، "حذف نویز صوتی از سیگنال گفتار بر اساس استفاده از نسبت سیگنال به نویز پیشین"، سومین کنفرانس بین‌المللی سالیانه انجمن کامپیوتر ایران، دی ۱۳



احمد اکبری دوره‌ی کارشناسی را در رشته‌ی مهندسی الکترونیک و کارشناسی ارشد را در رشته مخابرات از دانشگاه صنعتی اصفهان به‌ترتیب در

سال ۱۳۶۵ و ۱۳۶۸ به پایان رساند. وی درجه‌ی DHET در شبکه‌های کامپیوتری را از ENSEEIHT در شهر تولوس فرانسه کسب کرد. ایشان همچنین درجات DEA و PhD را در ارتباطات و پردازش سیگنال از دانشگاه رنس (Renes 1, France) در سال‌های ۱۳۷۱ و ۱۳۷۴ اخذ کرد. وی در سال ۱۳۷۵ به دانشکده مهندسی کامپیوتر دانشگاه علم و صنعت ایران ملحق شد. در حال حاضر ایشان دانشیار و رئیس مرکز فن‌آوری اطلاعات این دانشگاه می‌باشد. زمینه‌های تحقیقاتی مورد علاقه‌ی وی شامل مدلسازی اکوستیکی گفتار، بهسازی گفتار و بازشناسی گفتار می‌باشد.

نشانی رایانامک (پست الکترونیکی) ایشان عبارت است از:

akbari@iust.ac.ir